Fig. 1

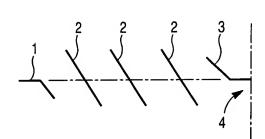


Fig. 2

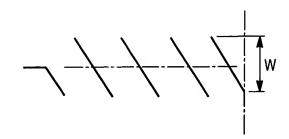


Fig. 3

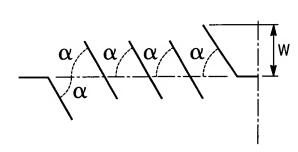


Fig. 4

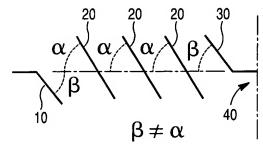


Fig. 7

24° 24° 24° 28° 28° 28° 28° 24° 24° 24° 24° 24° 24° 28° 28° 28° 28° 24° 24° 24°

20° 24° 24° 28° 28° 28° 28° 24° 24° 20° 20° 24° 24° 28° 28° 28° 28° 28° 24° 24°

††

+ 0.880 18

-9

5

4

<u>5</u>

<u></u>

တ

ם,

0.991

0.990

Breaking Louver Angle

- 0.890

-A- HT/HT_ base

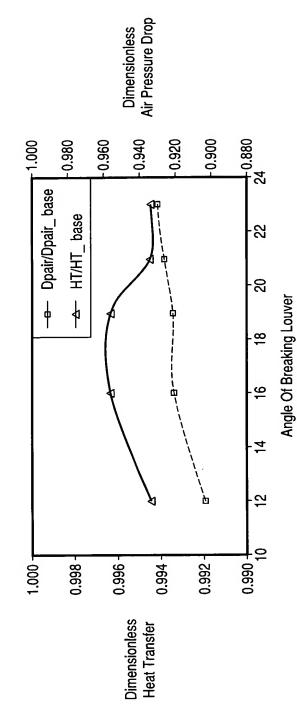
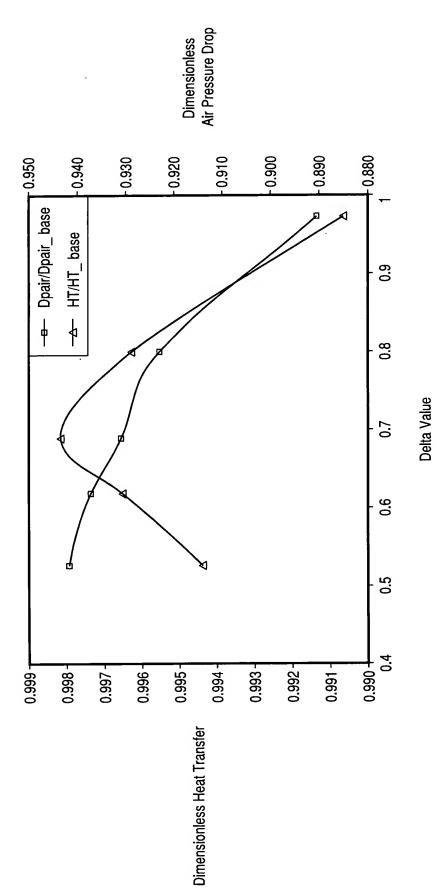


Fig. 6

4

Fig. 8



57.

Fig. 9

